

# Geração de Grid - Funções de Controle

Rafael Umino Nakanishi

## 1 Objetivo

O objetivo desse trabalho foi desenvolver as técnicas de geração da grid baseados em métodos diferenciais elípticos. Nessas técnicas, a malha é gerada através das soluções de Equações Diferenciais Parciais elípticas. Os geradores de malhas mais utilizados são os pares de equação de Laplace:

$$\nabla^2 \xi = 0 \text{ e } \nabla^2 \eta = 0 \quad (1)$$

Tal sistema possui uma características desejáveis, incluindo o princípio do máximo, que garante que nem o máximo nem o mínimo de  $\xi, \eta$  ocorram no interior do domínio. Além disso, é garantido que se as fronteiras do domínio variam de forma suave e monótona, então o interior da malha também terá essa característica.

### 1.1 Método de TTM

Em alguns casos, é desejado ainda que certas regiões da malha sejam mais refinados que as demais partes. Para isso faz-se uso das equações de Poisson:

$$\nabla^2 \xi = P(\xi, \eta) \text{ e } \nabla^2 \eta = Q(\xi, \eta) \quad (2)$$

onde  $P(\xi, \eta)$  e  $Q(\xi, \eta)$  são chamadas funções de controle. É possível demonstrar que as equações do problema inverso são dadas por:

$$\begin{aligned} g_{22} \frac{\partial x}{\partial \xi^2} - 2g_{12} \frac{\partial^2 x}{\partial \xi \partial \eta} + g_{11} \frac{\partial x}{\partial \eta^2} + g \left( P \frac{\partial x}{\partial \xi} + Q \frac{\partial x}{\partial \eta} \right) \\ g_{22} \frac{\partial y}{\partial \xi^2} - 2g_{12} \frac{\partial^2 y}{\partial \xi \partial \eta} + g_{11} \frac{\partial y}{\partial \eta^2} + g \left( P \frac{\partial y}{\partial \xi} + Q \frac{\partial y}{\partial \eta} \right) \end{aligned} \quad (3)$$

De fato, tomando as relações a seguir:

$$\begin{cases} \nabla \cdot u(x^1, x^2) &= \frac{\partial u}{\partial x^i} g^i \\ \nabla f(x^1, x^2) &= g^i \frac{\partial f}{\partial x^i} \end{cases}$$

é possível mostrar que:

$$\Delta x^i = \nabla \cdot \nabla x^i = g^k \frac{\partial}{\partial x^k} \left( g^j \frac{\partial x^i}{\partial x^j} \right)$$

Observe que  $\frac{\partial x^i}{\partial x^j} = \delta_j^i$ . Aplicando contração de índice, onde  $g^j \delta_j^i = g^i$ , e a definição do símbolo de Christoffel, temos:

$$\begin{aligned} \Delta x^i &= g^k \frac{\partial g^i}{\partial x^k} \\ &= g^k (-\Gamma_{kj}^i g^j) \\ &= -g^{kj} \Gamma_{kj}^i \end{aligned}$$

Aplicando uma das propriedades do símbolo de Christoffel, chegamos a:

$$\Delta x^i = -g^{kj} \left( \frac{\partial^2 y_k}{\partial x^j \partial x^k} \frac{\partial x^i}{\partial y_l} \right) \quad (4)$$

Multiplicando ambos os termos da expressão acima por  $\frac{\partial y_l}{\partial x^i}$ , obtemos finalmente:

$$\Delta x^i \frac{\partial y_l}{\partial x^i} = -g^{kj} \frac{\partial^2 y_k}{\partial x^j \partial x^k} \quad (5)$$

E aplicando as coordenadas  $(x^1, x^2) = (\xi, \eta)$  e  $(y_1, y_2) = (x, y)$  obtemos a equação (segue análogo para  $y$ ):

$$\Delta \xi \frac{\partial x}{\partial \xi} + \Delta \eta \frac{\partial x}{\partial \eta} = - \left( g^{11} \frac{\partial x}{\partial \xi^2} + 2g^{12} \frac{\partial^2 x}{\partial \xi \partial \eta} + g^{22} \frac{\partial x}{\partial \eta^2} \right) \quad (6)$$

Note que  $g^{ij}$  mapeia das coordenadas curvilíneas para as coordenadas cartesianas. Como queremos o efeito contrário, encontremos  $g_{ij}$ :

$$\begin{bmatrix} g^{11} & g^{12} \\ g^{12} & g^{22} \end{bmatrix} = \frac{1}{g} \begin{bmatrix} g_{22} & -g_{12} \\ -g_{12} & g_{11} \end{bmatrix} \quad (7)$$

E substituindo as Equações 2 e 7 na Equação 6 obtemos as equações do método TTM (Thomson, Thames, Mastin) (Eq. 3).

## 2 Técnicas Numéricas

Apresentamos nas subseções seguintes as discretizações que foram utilizadas para resolução numérica do problema e como foi feita a escolha dos valores iniciais utilizados.

### 2.1 Discretização

As principais discretizações realizadas foram feitas por diferenças finitas. Listamos a seguir as discretizações dos tensores métricos e das derivadas parciais de  $x$  e  $y$ .

$$\begin{aligned} g_{11} &= \left[ \left( \frac{\partial x}{\partial \xi} \right)^2 + \left( \frac{\partial y}{\partial \xi} \right)^2 \right] = \left( \frac{x_{i+1,j} - x_{i-1,j}}{2\Delta \xi} \right)^2 + \left( \frac{y_{i+1,j} - y_{i-1,j}}{2\Delta \xi} \right)^2 \\ g_{22} &= \left[ \left( \frac{\partial x}{\partial \eta} \right)^2 + \left( \frac{\partial y}{\partial \eta} \right)^2 \right] = \left( \frac{x_{i,j+1} - x_{i,j-1}}{2\Delta \eta} \right)^2 + \left( \frac{y_{i,j+1} - y_{i,j-1}}{2\Delta \eta} \right)^2 \\ g_{12} &= \left[ \left( \frac{\partial x}{\partial \xi} \right) \left( \frac{\partial x}{\partial \eta} \right) + \left( \frac{\partial y}{\partial \xi} \right) \left( \frac{\partial y}{\partial \eta} \right) \right] = \\ &= \left( \frac{x_{i,j+1} - x_{i,j-1}}{2\Delta \eta} \right) \left( \frac{x_{i,j+1} - x_{i,j-1}}{2\Delta \eta} \right) + \left( \frac{y_{i,j+1} - y_{i,j-1}}{2\Delta \eta} \right) \left( \frac{y_{i+1,j} - y_{i-1,j}}{2\Delta \xi} \right) \end{aligned}$$

Destacamos, também as diferenças finitas utilizadas para as segunda derivadas de  $x$  (seguindo as equações a seguir análogas para  $y$ ):

$$\begin{aligned}
\left(\frac{\partial x}{\partial \xi^2}\right) &= \frac{x_{i+1,j} - 2x_{i,j} + x_{i-1,j}}{(\Delta \xi)^2} \\
\left(\frac{\partial x}{\partial \eta^2}\right) &= \frac{x_{i,j+1} - 2x_{i,j} + x_{i,j-1}}{(\Delta \eta)^2} \\
\left(\frac{\partial^2 x}{\partial \xi \partial \eta}\right) &= \frac{x_{i+1,j+1} + x_{i-1,j-1} - x_{i-1,j+1} - x_{i+1,j-1}}{4(\Delta \xi)(\Delta \eta)}
\end{aligned}$$

## 2.2 Interpolação Transfinita

Para geração dos pontos iniciais na malha, foi utilizado o método de interpolação transfinita. Tal método permite manter a curvatura do domínio físico e gera uma malha de modo rápido e simples. Observe na figura COLOQUE UMA FIGURA que o mapeamento é feito de forma a manter as fronteiras do domínio original.

Para a interpolação fazemos uso de projetores  $\mathbf{P}_\xi(\xi, \eta) = (1 - \xi)\mathbf{r}(0, \eta) + \xi\mathbf{r}(1, \eta)$  e  $\mathbf{P}_\eta(\xi, \eta) = (1 - \eta)\mathbf{r}(\xi, 0) + \eta\mathbf{r}(\xi, 1)$ . Utilizado esse projetores é possível preservar os vértices, mas não a fronteira. Então, compondo os projetores mencionados, em uma soma booleana, temos:

$$\begin{aligned}
\mathbf{P}_\xi \oplus \mathbf{P}_\eta(\xi, \eta) &= \mathbf{P}_\xi + \mathbf{P}_\eta - \mathbf{P}_\xi \mathbf{P}_\eta \\
&= (1 - \xi)\mathbf{r}(0, \eta) + \xi\mathbf{r}(1, \eta) + (1 - \eta)\mathbf{r}(\xi, 0) + \eta\mathbf{r}(\xi, 1) \\
&\quad - (1 - \xi)(1 - \eta)\mathbf{r}(0, 0) - (1 - \xi)\eta\mathbf{r}(0, 1) \\
&\quad - (1 - \eta)\xi\mathbf{r}(1, 0) - \xi\eta\mathbf{r}(1, 1)
\end{aligned}$$

Melhorando a escrita da equação acima, escrevemos:

$$\begin{aligned}
\mathbf{r}(\xi, \eta) &= (1 - \xi)\mathbf{r}_t(\eta) + \xi\mathbf{r}_r(\eta) + (1 - \eta)\mathbf{r}_b(\xi) + \eta\mathbf{r}_l(\xi) - (1 - \xi)(1 - \eta)\mathbf{r}_b(0) - \\
&\quad (1 - \xi)\eta\mathbf{r}_l(0) - (1 - \eta)\xi\mathbf{r}_b(1) - \xi\eta\mathbf{r}_l(1)
\end{aligned}$$

onde  $t, b, l, r$  são abreviações americanas para *top*, *bottom*, *left*, *right* respectivamente.

## 2.3 Funções de Controle

Um conjunto de funções de controle foi proposto por Thomson, Thames e Martin em 1974 e pode ser encontrado em [2] e transcrito a seguir:

$$P(\xi, \eta) = - \sum_{n=1}^N a_n \frac{(\xi - \xi_n)}{|\xi - \xi_n|} e^{-c_n |\xi - \xi_n|} - \sum_{l=1}^L b_l \frac{(\xi - \xi_l)}{|\xi - \xi_l|} e^{-d_l [(\xi - \xi_l)^2 + (\eta - \eta_l)^2]^{1/2}} \quad (8)$$

$$Q(\xi, \eta) = - \sum_{n=1}^N a_n \frac{(\eta - \eta_n)}{|\eta - \eta_n|} e^{-c_n |\eta - \eta_n|} - \sum_{l=1}^L b_l \frac{(\eta - \eta_l)}{|\eta - \eta_l|} e^{-d_l [(\xi - \xi_l)^2 + (\eta - \eta_l)^2]^{1/2}} \quad (9)$$

Note que  $N$  é o número de linhas e  $L$  é o número de pontos para onde a malha será atraída, ou seja, onde haverá maior refinamento. Além disso, os coeficientes  $a_n, c_n, b_l, d_l$  são positivos. O primeiro termo da expressão  $P(\xi, \eta)$  tem o efeito, com amplitude  $a_n$ , de atrair linhas onde  $\xi$  é constante para as curvas  $\xi = \xi_n$  no domínio físico. Enquanto o segundo termo da expressão, com amplitude  $b_l$ , tem o efeito de atrair as linhas  $\xi$  para os pontos  $(\xi_l, \eta_l)$ .

### 3 Detalhes de Implementação

Em soluções numéricas a serem utilizadas para resolução de sistemas diferenciais, diferenças finitas frequentemente envolvem equações que geram um sistema de matriz tridiagonal. Com isso, podemos apresentar os métodos de eliminação de Gauss: Jacobi, Gauss-Seidel, SOR(Successive Over Relaxation) e Thomas.

Vale ressaltar que os valores iniciais utilizados foram gerados utilizando-se interpolação transfinita, apresentada anteriormente.

Discutimos a seguir os detalhes de implementação pertinentes às técnicas implementadas.

#### 3.1 Método de Jacobi, Gauss Seidel e SOR

Os métodos de Jacobi, Gauss Seidel e SOR são bem semelhantes e optamos por explicá-los em conjunto.

##### 3.1.1 Método Jacobi

Para o método de Jacobi foi necessário criar uma matriz auxiliar para armazenamento dos valores da iteração corrente. Essa abordagem é própria do método, já que faz uso dos valores da iteração anterior para cálculo dos novos valores. Em termos simples, temos que o método de Jacobi pode ser escrito como:

$$x_i^{(k)} = \sum_{j=1}^N a_{ij} x_j^{(k-1)}$$

onde  $k$  é o valor da iteração corrente.

##### 3.1.2 Método de Gauss Seidel

A criação de uma nova matriz não se faz necessária no método de Gauss Seidel, uma vez que os valores já calculados podem ser utilizados na iteração corrente. Além disso é possível notar uma certa aceleração do método. Podemos descrever o método de Gauss Seidel, em termos simples, como sendo:

$$x_i^{(k)} = \sum_{j=1}^{i-1} a_{ij} x_j^{(k)} + \sum_{j=i+1}^N a_{ij} x_j^{(k-1)}$$

##### 3.1.3 Método SOR

O método de SOR é baseado no método de Gauss Seidel e são utilizados para acelerar a convergência de sistemas que convergem com o método de Gauss. Podemos, então reescrever o método de Gauss da seguinte forma:

$$x_i^{(k)} = (1 - \omega)x_i^{(k)} + \omega \left[ \sum_{j=1}^{i-1} a_{ij} x_j^{(k)} + \sum_{j=i+1}^N a_{ij} x_j^{(k-1)} \right] \quad (10)$$

onde  $0 \leq \omega \leq 2$ .

### 3.2 Método de Thomas

Um sistema típico a ser resolvido pelo método de Thomas, que é baseado no método de Gauss Seidel, é apresentado da forma

$$-a_i u_{i-1} + b_i u_i - c_i u_{i+1} = d_i \quad (11)$$

com  $i = 1 \dots (N-1)$  e os valores de  $u_0$  e  $u_N$  são supostamente conhecidos, dados as condições de contorno. Observe que os valores  $a, b$  e  $c$  são correspondentes à diagonal da matriz tridiagonal

$$\begin{bmatrix} b_1 & -c_1 & 0 & \dots & 0 \\ -a_2 & b_2 & -c_2 & \dots & 0 \\ \vdots & \vdots & \ddots & \dots & \vdots \\ 0 & \dots & -a_{N-2} & -b_{N-2} & c_{N-2} \\ 0 & \dots & \dots & -a_{N-1} & b_{N-1} \end{bmatrix}$$

Na implementação, os valores de  $a, b, c, d$  podem ser derivados e obtemos os seguintes valores:

$$\begin{aligned} a_{i,j} &= c_{i,j} = \frac{(g_{22})_{i,j}}{(\Delta\xi)^2} - \frac{gP(i,j)}{(\Delta\xi)^2} \\ b_{i,j} &= \left[ \frac{2(g_{22})_{i,j}}{(\Delta\xi)^2} + \frac{2(g_{11})_{i,j}}{(\Delta\eta)^2} \right] \\ d_{i,j} &= \frac{(g_{11})_{i,j}}{(\Delta\eta)^2} (x_{i+1,j+1} + x_{i,j-1}) - 2(g_{12})_{i,j} \times \frac{x_{i+1,j+1} + x_{i-1,j-1} - x_{i-1,j+1} - x_{i+1,j-1}}{4(\Delta\xi)(\Delta\eta)} \\ &\quad - g * Q(i,j) * (x_{i,j+1} - x_{i,j-1}) \\ e_{i,j} &= \frac{(g_{11})_{i,j}}{(\Delta\eta)^2} (y_{i+1,j+1} + y_{i,j-1}) - 2(g_{12})_{i,j} \times \frac{y_{i+1,j+1} + y_{i-1,j-1} - y_{i-1,j+1} - y_{i+1,j-1}}{4(\Delta\xi)(\Delta\eta)} \\ &\quad - g * Q(i,j) * (y_{i,j+1} - y_{i,j-1}) \end{aligned}$$

conseguindo, assim as equações da forma (11), sendo  $e_{i,j}$  para a variável  $y$ .

## 4 Resultados

Apresentamos nessa seção os principais resultados obtidos utilizando-se as técnicas descritas anteriormente para alguns domínios físicos criados artificialmente.

As Figuras (1-6) apresentam os domínios utilizados, bem como o erro cometido a cada iteração para seus respectivos domínios. Ainda é possível observar nas figuras a quantidade de iterações que foi necessária para que os métodos convergissem. O erro tolerado nesses casos foi de  $10^{-4}$ .

As Figuras (7-12) apresentam os domínios utilizados em conjunto com funções de controle para adaptividade. Em cada figura é possível observar que os pontos da malha foram atraídos para as respectivas localizações impostas. Também é possível verificar o número de iterações necessárias para o método convergir. Observe que é necessário muito mais iterações nesses casos. O erro tolerado também foi de  $10^{-4}$ .

## 5 Considerações Finais

É possível notar que a adaptividade da malha pode ajudar em vários casos onde é necessário mais detalhes em regiões específicas. Com a técnica TTM é possível obter boas malhas com segurança de respeito ao domínio imposto.

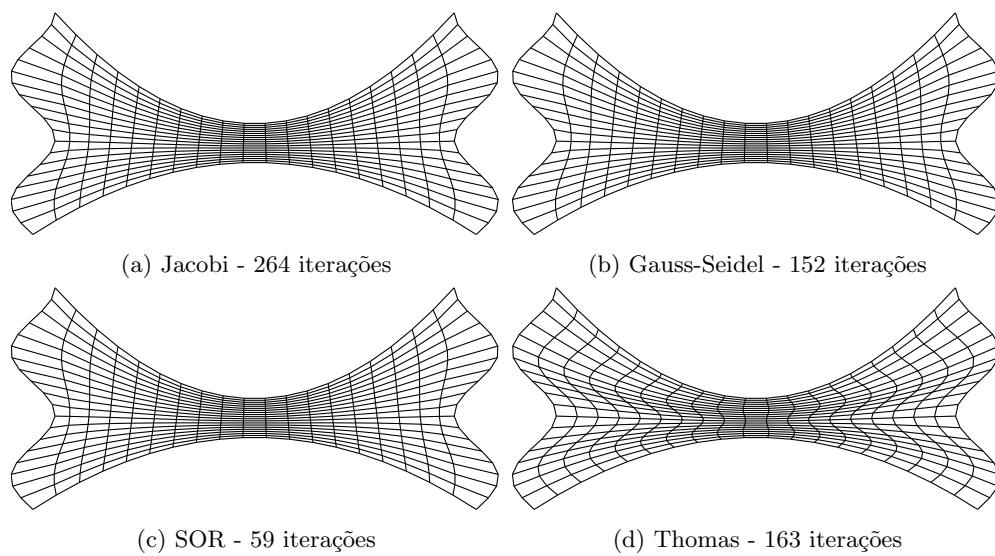


Figura 1: Domínio ondulado

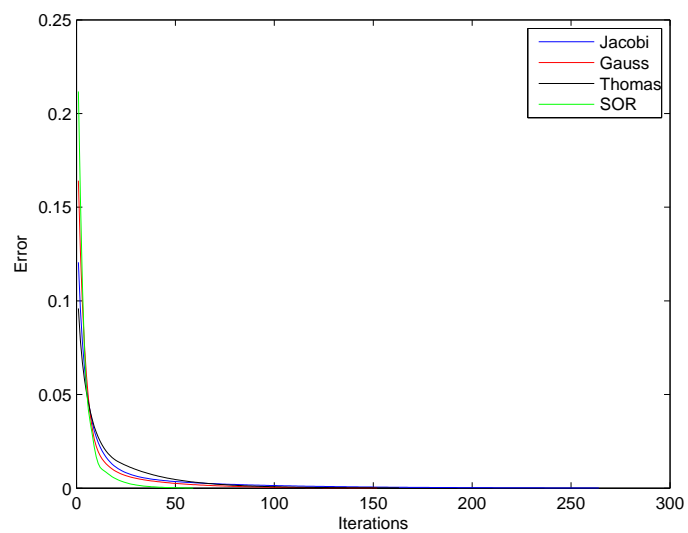
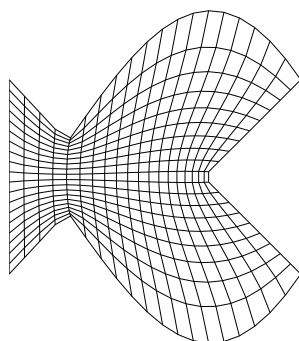
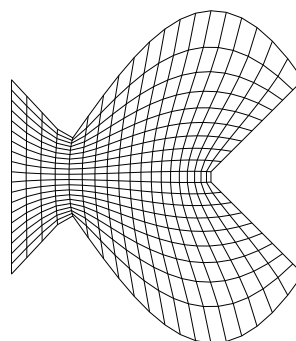


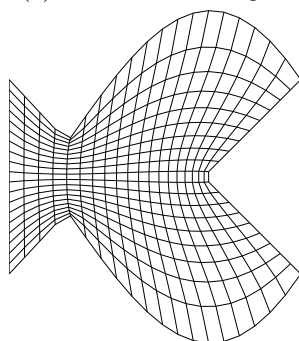
Figura 2: Gráfico do erro para o domínio ondulado



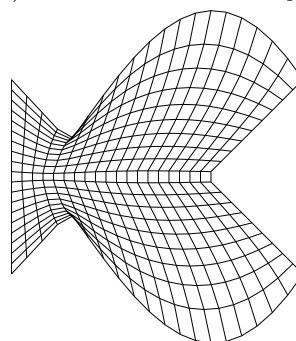
(a) Jacobi - 378 iterações



(b) Gauss-Seidel - 207 iterações



(c) SOR - 74 iterações



(d) Thomas - 120 iterações

Figura 3: Domínio peixe

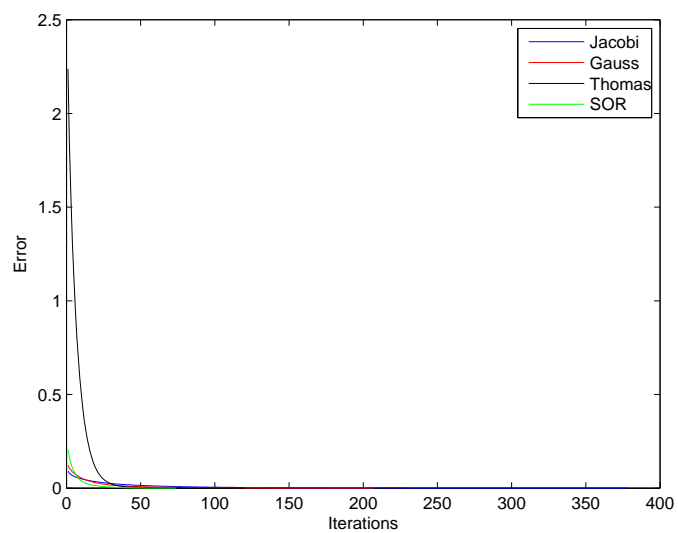


Figura 4: Gráfico do erro para o domínio peixe

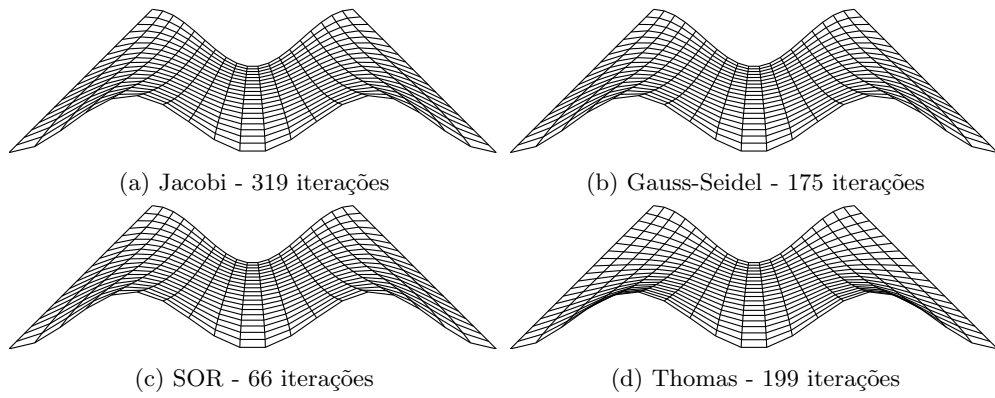


Figura 5: Domínio M

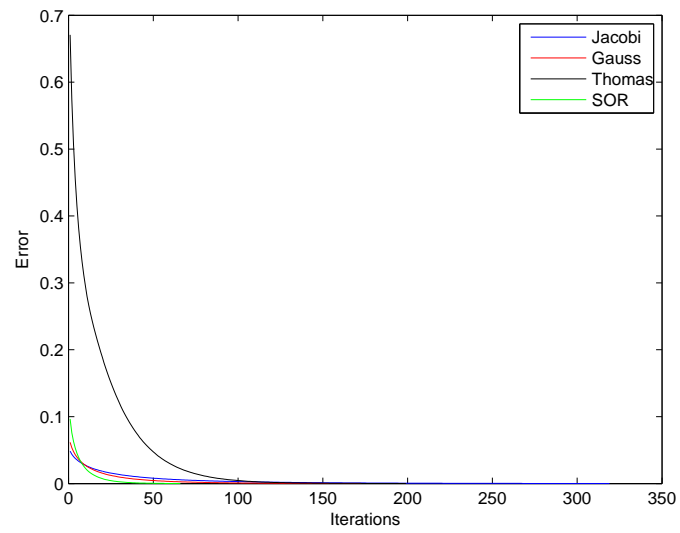


Figura 6: Gráfico do erro para o domínio M



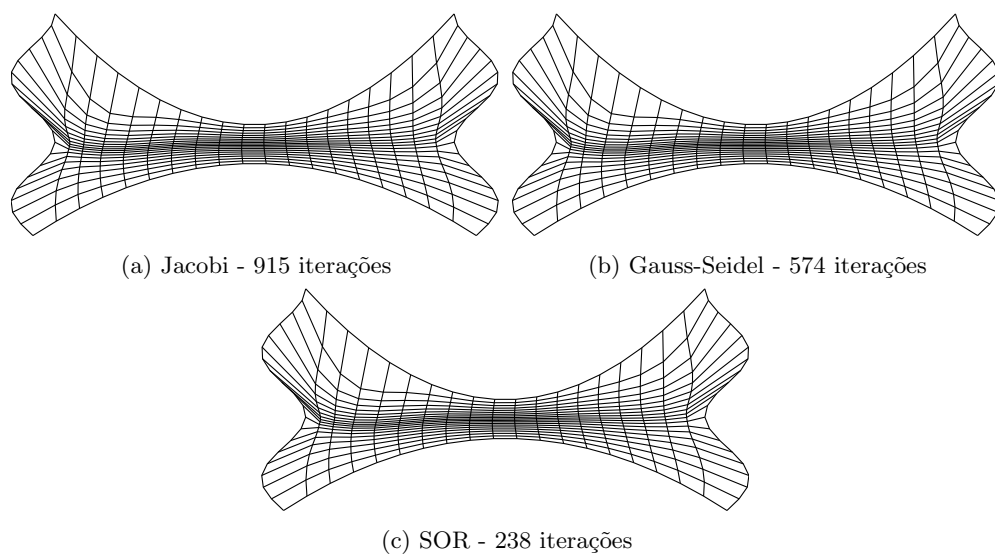


Figura 7: Domínio Ondas, aplicando o método TTM para aproximação para os pontos  $(0.1, 0.5)$  e  $(0.9, 0.5)$

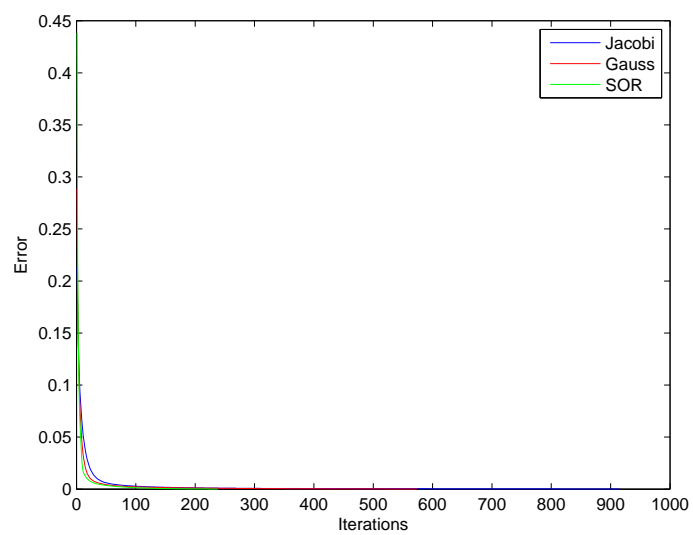
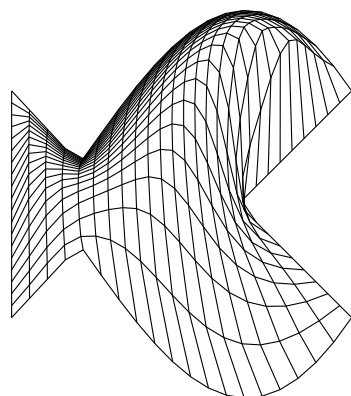
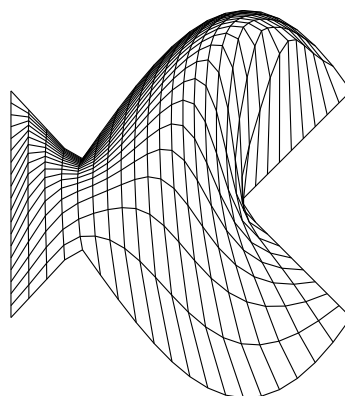


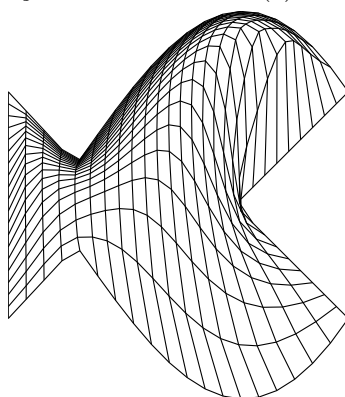
Figura 8: Gráfico do erro para o domínio ondas com aproximação pontual



(a) Jacobi - 411 iterações



(b) Gauss-Seidel - 210 iterações



(c) SOR - 71 iterações

Figura 9: Domínio Peixe, aplicando o método TTM para aproximação para a linha  $\xi = 1$

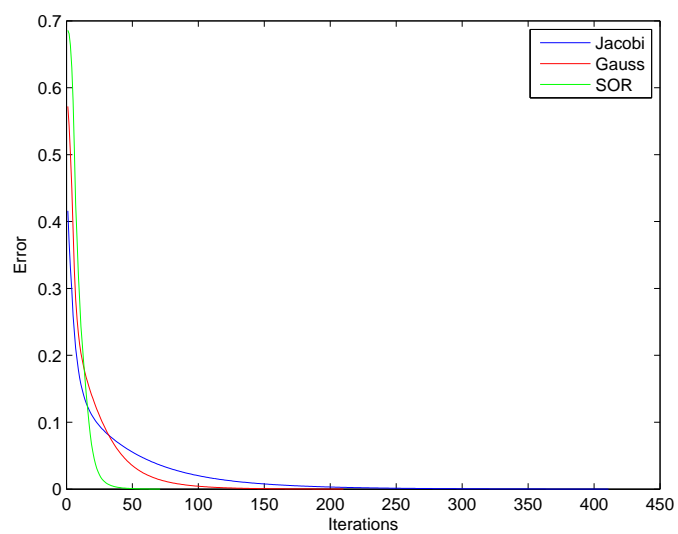


Figura 10: Gráfico do erro para o domínio peixe com aproximação em linha

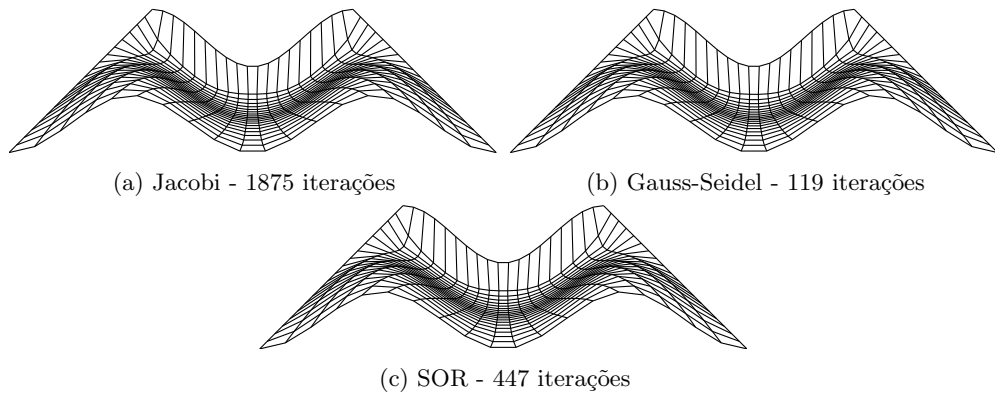


Figura 11: Domínio M, aplicando o método TTM para aproximação para o ponto  $(0.5, 0.5)$

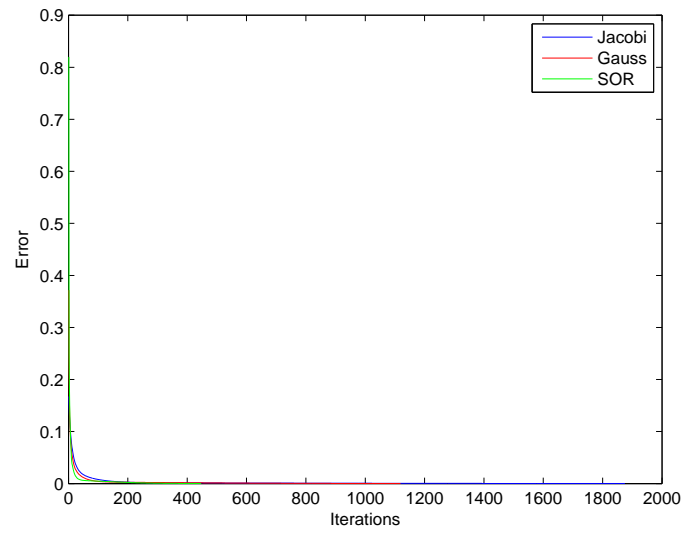


Figura 12: Gráfico do erro para o domínio M com aproximação pontual

Vale ressaltar que a amplitude escolhida nos casos relatados foi exaustivamente testada. Em casos extremos, é possível degenerar a malha, levando a resultados muito ruins. O bom senso na escolha da amplitude se faz necessário, evitando-se assim valores muito extremos.

## Referências

- [1] BURDEN, R. L., FAIRES, J. D., AND TASKS, A. *Análise numérica*. Cengage Learning, 2008.
- [2] FARRASHKHALVAT, M., AND MILES, J. *Basic Structured Grid Generation: With an introduction to unstructured grid generation*. Butterworth-Heinemann, 2003.